

立陵地の小試験流域における土壌不足と地下水涵養

東京大学 工学部 頃。安藤義久
東京大学 生産技術研究所 正員 田嶋功臣

1.はじめに

筆者らは 1977年に 多摩丘陵の西部に長池試験流域を設定し、水循環過程に沿った一貫した水文観測を行い、立陵地の水循環機構について検討を進めてきた。本稿では、水循環過程の中の地下水涵養過程について、土壌不足との関係から検討を加える。なお、図1.には 長池試験流域(流域面積4.4ha)の概要を示す。

2.年間の水循環

長池試験流域において、1977年9月～1978年8月の1年間に得られた水文データに基づき、週単位の水収支解析を行った。即ち、まず、①式によって月単位の水収支解析を行い、未知量としての月別の蒸発散量を算出した。

$$P - (Q + E) = \Delta M_s + \Delta H \cdot P_a + \Delta W_s \quad \dots \dots \quad ①$$

但し、P:雨量 Q:流出量 E:蒸発散量 ΔM_s :不飽和帯の水分保存量変化 $\Delta H \cdot P_a$:地下水貯留量変化 ΔW_s :地表水の貯留量変化

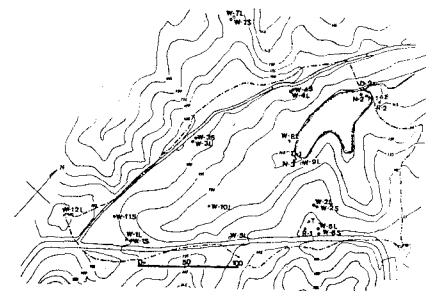
更に、月別の蒸発散量を1日の蒸発量によって週単位に比例配分して週別の蒸発散量を求め、時間単位を週単位にとり、①式により、 ΔM_s を未知数として週単位の水収支解析を行った。

そして、流出量について 地下水流出量(Q_g)と直接流出量(D)を分離し、②式により、地下水涵養量(G)を求めた。

$$G = Q_g + \Delta H \cdot P_a \quad \dots \dots \quad ②$$

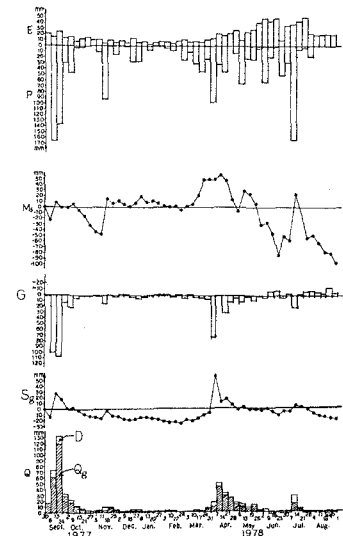
以上のようにして求めた年間の水循環図を図2.に示す。

図2.において、1978年6月～8月の地下水涵養量Gがマイナスの値を示すのは、漏水の影響と考えられる。図2.の中で注目すべきことは、1977年9月6日～9月13日、同年9月13日～24日、及び 1978年7月7日～14日の三者の雨量はいずれも 150 mm前後の値であるにもかかわらず、前二者の場合の地下水涵養量が 100 mm程度の値を示すのに後者の期間の地下水涵養量が 30 mm程度でしかないという点である。同様な傾向は、1977年11月11日～18日と 1978年3月31日～4月7日においてもみられる。いずれの期間の雨量も 95 mm程度であるにもかかわらず、前者の期間の地下水涵養量は 20 mm弱であるのに対して、後者の期間の地下水涵養量は 70 mm以上に達している。これらの結果を不飽和帯の水分保存量(Ms)と対応させてみると、Msが大の時には地下水涵養量Gが大きく、Msが小の時にはGも小さいことがわかる。



(R:雨量 N:水位 D:流量)
(W:地下水位 T:不飽和帶水分量)

図1.長池試験流域の概要



(注) 1年間の地下水涵養量は 428 mmである。

(E:蒸発散量 P:雨量 Ms:不飽和
帯の水分保存量 G:地下水涵養量
Sg:地下水貯留量(HPa) Q:流出量)

図2.年間の週単位の水循環図

3. 降雨時の不飽和帯の水収支解析(土壌不足と地下水涵養)

前節の結果から、雨量だけでなく不飽和帯の水分保存量の多少が地下水涵養量の多少を規定していると推定されるが、本節ではこのことを更に検討するため、降雨時の不飽和帯の水収支解析を行った。その方法は、時間単位を1時間にとり、まず流出量Qを直接流出量Dと地下水流出量Gに分離し、②式により1時間単位の地下水涵養量G_tを求める。降雨時の流域全体の水収支式③により、不飽和帯の水分保存量の変化△M_sは算出できるので、不飽和帯の水収支式④により浸入量I_tを求める。

$$P - Q = \Delta M_s + \Delta H \cdot P_a + \Delta T_b \quad \dots \text{③} \quad / \quad I - G = \Delta M_s \quad \dots \text{④}$$

こうして求めた不飽和帯の水収支結果を図3.に示す。不飽和帯の水分保存量M_sは降雨終了後6~24時間で安定状態になることがわかるが、この状態が最小容水量(蓄積容水量)状態M_nと考えられる。初期含水量をM₀とすると、M_d = M_n - M₀ によって土壌不足M_dが定義される。④式から、一雨ごとの地下水涵養量G_tは、

$$G_t = I_t - \Delta M_s = I_t - M_d \quad \dots \text{⑤}$$

で表されることになる。即ち、地下水涵養量G_tは、浸入量I_tから土壌不足M_dを差引いたものに等しい。

4. 土壌不足と蒸発散

図4.にはテンシオ・メーターによる降雨時の不飽和帯の水分保存量の動態を示す。これをみると、深度5~35cmの土壤带の水分保存量は変動しているが、深度50cm以上の不飽和帯の水分保存量はほとんど変動していないことがわかる。従って、土壌不足が生じている領域は、不飽和帯の中でも表層の土壤帶の部分が主であると考えられる。この土壌不足の生じる原因は、降雨前の無降雨期間における地表からの蒸発散と考えられる。土壌不足M_dが推定できれば、⑤式から地下水涵養量G_tが推定できるという意味で、土壌不足M_dの推定は重要である。

筆者らは、不飽和帯の水収支結果から、M_d = M_n - M₀ という式によて観測された14降雨について土壌不足M_dを求め、(1-s)(ΣE - ΣR)との相関を調べた。ここにsは他の面積率であり、1-s = 0.94 である。最小二乗法による回帰直線は、

$$M_d = (1-s)(\Sigma E - \Sigma R) + 0.80 \quad \dots \text{⑦}$$

であり、相関係数は0.94と高い。従って、土壌不足M_dは、無降雨期間の蒸発散量と雨量から、

$$M_d = (1-s)(\Sigma E - \Sigma R) \quad \dots \text{⑧}$$

で推定できることが流域レベルで実証されたといえる。

5.まとめ

地下水涵養量は、浸入量から土壌不足を引いたものに等しいことを明らかにするとともに、土壌不足が地下水涵養のない期間の蒸発散量と雨量の差で推定できることを流域レベルで実証した。

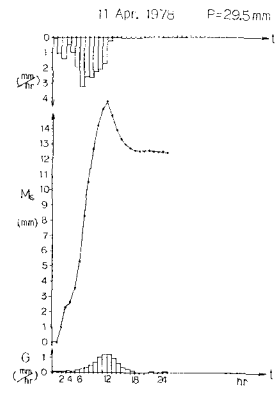


図3. 不飽和帯の水収支結果

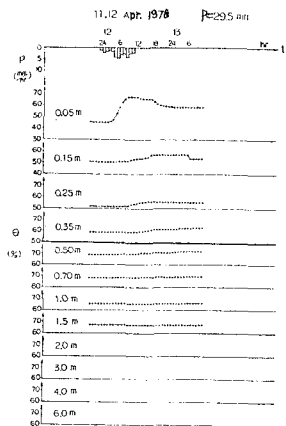


図4. テンシオメーターによる降雨時の不飽和帯の水分保存量の動態(θ: 容積含水率)

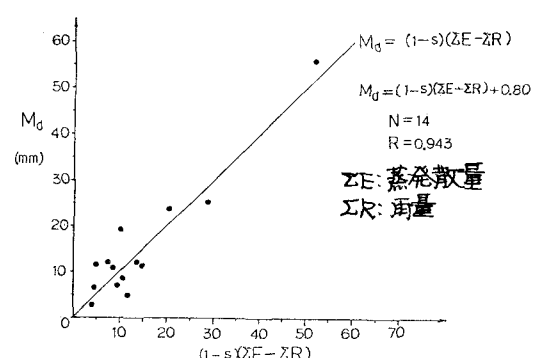


図5. M_d と (1-s)(ΣE - ΣR) の相関図